

## Моделирование колебаний с инерционным возмущением

© В.В. Дубинин, В.В. Витушкин

МГТУ им. Н.Э. Баумана, Москва, 105005, Россия

*Представлен метод моделирования колебаний различных механических систем с инерционным возмущением с использованием разработанной экспериментальной установки. Приведено описание конструкции этой установки, теоретических основ ее работы, методики проведения исследований колебаний и построения расчетных и экспериментальных амплитудно-частотных (АЧХ) и фазочастотных (ФЧХ) характеристик. Показано, что в силу подобия дифференциальных уравнений движения различных реальных промышленных объектов и рассматриваемой экспериментальной установки возможно ее применение для моделирования процессов колебаний указанных объектов. Приведены параметры подобия, позволяющие осуществлять такое моделирование и получать АЧХ и ФЧХ различных промышленных объектов, описан пример построения АЧХ некоторой системы с использованием экспериментов, проведенных на лабораторной установке.*

**Ключевые слова:** механические системы, инерционное возмущение, колебания систем, частотные характеристики, лабораторная установка, моделирование колебаний, параметры подобия.

**Введение.** Развитие информационных технологий в различных областях науки и высшем образовании позволяет осуществлять математическое моделирование физических процессов и реализовывать органичное соединение такого моделирования с физическим экспериментом. Это направление в течение ряда лет успешно развивается на кафедре теоретической механики МГТУ им. Н.Э. Баумана путем создания исследовательских комплексов различного типа механических систем для научной работы и учебного процесса [1–4].

Физический эксперимент в таких комплексах играет принципиально новую роль, прочно связан с моделированием и позволяет сразу же его проверить и предложить новые идеи для моделирования. Модельные установки, не требующие больших финансовых затрат, создают для основных процессов того или иного большого промышленного комплекса. Их можно дополнять простыми устройствами обратной связи, нелинейностями и другими устройствами, а также соединять одни с другими по принципам построения основного комплекса.

Реально на практике часто встречаются процессы, в которых возникают колебания систем с инерционным возмущением. Авторами настоящей работы создана физическая установка, на которой моделируется такой процесс. Эта установка позволяет проводить научные исследования данного реального физического процесса по различ-

ным параметрам, а также моделировать его с помощью разработанных программ расчетов, записи и обработки экспериментов. Она входит в лабораторный исследовательский комплекс, который можно использовать также и в учебном процессе для исследований линейной модели вынужденных колебаний механической системы с инерционным возмущением.

**Лабораторный исследовательский комплекс.** Лабораторный исследовательский комплекс включает в себя собственно электромеханическую установку с блоком управления, аналого-цифровой преобразователь (АЦП), ПЭВМ и программно-методическое обеспечение (рис. 1).

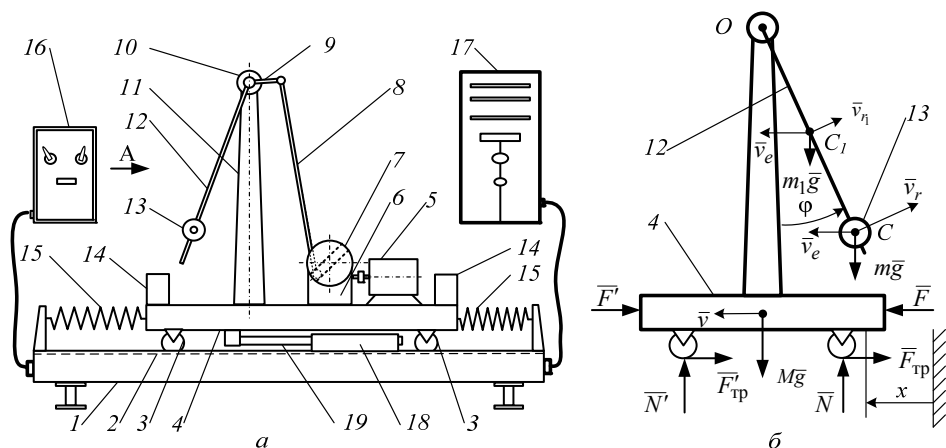


**Рис. 1.** Общий вид лабораторного комплекса

Электромеханическая лабораторная установка (рис. 2, а) представляет собой механическую систему, состоящую из основания 1 с направляющими 2, в которых с возможностью продольного перемещения установлена каретка 4 с колесами 3. На каретке смонтирован механизм возбуждения ее колебаний, состоящий из электродвигателя 5, редуктора 6, маятника 12 и шарнирного механизма, включающего в себя закрепленный на выходном валу редуктора кривошип 7 с регулируемым эксцентриситетом и шток 8. Маятник шарнирно установлен на стойке 11, закрепленной на каретке, и снабжен грузом 13 и рычагом 9, шарнирно соединенным со штоком 8, при этом груз можно закреплять на стержне маятника на различных расстояниях от его оси вращения. Маятник совершает вынужденные колебания в соответствии с законом, близким к синусоидальному. Эти колебания обеспечивают формирование возмущающего воздействия на каретку. Каретка соединена с основанием пружинами 15 и на ней установлены также дополнительные грузы 14. Устройство снабжено потенциометрическим датчиком 10 угла поворота маятника и индуктивным дат-

чиком 18 продольных перемещений каретки, блоком 16 электропитания электродвигателя и датчиков и ПЭВМ 17. При этом датчик 18 выполнен в виде катушки, установленной на основании 1, и ферромагнитного стержня 19, закрепленного на каретке.

Сменные пружины 15 и грузы 14 позволяют изменять жесткостные и инерционные свойства системы, получать и исследовать различные амплитудно-частотные (АЧХ) и фазочастотные (ФЧХ) характеристики вынужденных колебаний каретки.



**Рис. 2.** Конструктивная (а) и расчетная (б) схемы электромеханической установки

Установка может быть использована для исследований в различных вариантах. В настоящей работе представлен ее вариант, в котором каретка соединена с неподвижным основанием двумя пружинами, а маятнику сообщается от электродвигателя принудительное колебательное движение. В этом случае изучают установившееся колебательное движение каретки. Исследования проводят на основании принципа сравнения экспериментальных и теоретических данных. Для вынужденных колебаний каретки, вызванных возмущением инерционного типа, при изменении частоты вынужденных колебаний строят теоретические кривые АЧХ и ФЧХ. Вычисление амплитуды и разности фаз осуществляется на основе анализа сигналов, снимаемых с датчиков угла отклонения маятника и линейного перемещения каретки, т. е. сигналов возмущения и вынужденных колебаний. Запись сигналов и их обработку, получение параметров вынужденных колебаний тележки проводят с помощью аппаратно-программного комплекса ПЭВМ. Пары измерений частота — амплитуда, частота — разность фаз отображаются в виде точек на экране дисплея, и при постепенном изменении частоты возмущения они сливаются в размытые линии, которые соответствуют реальным АЧХ и ФЧХ. Программное обеспечение рассматриваемого комплекса реализовано как

в оригинальном исполнении, так и в среде системы LabView 7.0 в виде виртуального прибора, на экран которого выводятся экспериментальные данные и указанные теоретические зависимости.

**Теоретические основы исследований.** Рассмотрим линеаризованную математическую модель движения каретки без учета сопротивления. На расчетной схеме установки (рис. 2, б) электродвигатель и механизм привода маятника не показаны. Масса каретки равна  $M$ . Массу маятника  $m$  считаем сосредоточенной в точке  $C$ . Длина маятника  $OC = l$ . Колеса 3 совершают плоское движение, но в силу их малой массы будем учитывать ее в общей массе каретки  $M$  при прямолинейном поступательном движении последней (т. е. вращение колес не учитывается). Система имеет две степени свободы, введены две обобщенные координаты:  $x$  — линейное перемещение тележки и  $\varphi$  — угловое отклонение маятника. Изменение координаты  $\varphi$  задано, а уравнение  $x = x(t)$  необходимо определить. Примем, что колеса катятся без скольжения, поэтому работа на перемещениях точек приложения сил  $\bar{N}, \bar{N}', \bar{F}_{тр}, \bar{F}'_{тр}$  равна нулю.

Для составления дифференциального уравнения движения каретки используем уравнение Лагранжа 2-го рода

$$\frac{d}{dt} \frac{\partial T}{\partial \dot{x}} - \frac{\partial T}{\partial x} = Q_x. \quad (1)$$

Здесь  $T = \frac{Mv^2}{2} + \frac{mv_C^2}{2} = \frac{(M+m)\dot{x}^2}{2} - mxl\dot{\varphi} \cos \varphi + \frac{ml^2\dot{\varphi}^2}{2}$  — кинетическая энергия системы;  $v = |\bar{v}| = \dot{x}$  — скорость каретки;  $\bar{v}_C = \bar{v}_r + \bar{v}_e$  — скорость точки  $C$ ,  $v_r = OC\dot{\varphi} = l\dot{\varphi}$ ,  $\bar{v}_e = \bar{v}$ ,  $v_C^2 = (\bar{v}_e + \bar{v}_r)^2 = \dot{x}^2 + l^2\dot{\varphi}^2 + 2\dot{x}l\dot{\varphi} \cos(\pi - \varphi) = \dot{x}^2 + l^2\dot{\varphi}^2 - 2\dot{x}l\dot{\varphi} \cos \varphi$ .

Обобщенная сила

$$Q_x = \frac{[-c(x_0 + x) - c(x - x_0)]\delta x}{\delta x} = -2cx,$$

где  $x_0$  — начальная деформация пружин;  $c$  — жесткость пружин.

С учетом выражений для  $T$  и  $Q_x$  уравнение Лагранжа 2-го рода принимает вид дифференциального уравнения для вынужденных движений

$$(M+m)\ddot{x} + 2cx = ml(\ddot{\varphi} \cos \varphi - \dot{\varphi}^2 \sin \varphi).$$

В правой части уравнения находится нелинейная обобщенная возмущающая сила. При малых значениях  $\varphi$  правая часть уравнения

приближенно равна  $\approx ml(\ddot{\varphi} - \dot{\varphi}^2\varphi)$  (слагаемое  $\dot{\varphi}^2\varphi$  — величина третьего порядка малости).

Угол  $\varphi$  задан принудительно:  $\varphi = \varphi_0 \sin(\omega t + \delta)$ , где  $\varphi_0$ ,  $\omega$  — амплитуда и частота кинематического параметра возмущения  $\varphi$ . Определим первую и вторую производные по времени параметра  $\varphi$ :

$$\dot{\varphi} = \varphi_0 \omega \cos(\omega t + \delta), \quad \ddot{\varphi} = -\varphi_0 \omega^2 \sin(\omega t + \delta).$$

В силу сделанного ранее предположения о том, что  $\varphi$  — малая величина, линейное дифференциальное уравнение движения системы можно записать как

$$(M + m)\ddot{x} + 2cx = ml\ddot{\varphi} = -ml\varphi_0\omega^2 \sin(\omega t + \delta)$$

или

$$\ddot{x} + K^2x = -h \sin(\omega t + \delta), \quad (2)$$

где

$$K = \sqrt{\frac{2c}{M + m}}, \quad h = \frac{ml\varphi_0\omega^2}{M + m}.$$

Здесь  $K$  — частота свободных (собственных) колебаний системы без учета сопротивления (по координате  $x$ ).

Интерес представляют вынужденные колебания каретки (системы). Найдем решение уравнения (2) в виде  $x_b = a_b \sin(\omega t + \delta)$ , где амплитуда вынужденных колебаний определяется соотношением  $-a_b\omega^2 + a_bK^2 = -h$  и, следовательно,

$$x_b = \frac{h}{\omega^2 - K^2} \sin(\omega t + \delta)$$

и

$$a_b = \frac{ml\varphi_0\omega^2}{(M + m)(\omega^2 - K^2)} = \frac{ml\varphi_0 Z^2}{(M + m)(Z^2 - 1)}$$

( $Z = \omega/K$  — коэффициент расстройки,  $\omega$  — круговая частота вынужденных колебаний, равная частоте возмущения).

Если не учитывать сопротивление, то разность фаз  $\varepsilon$  вынужденных колебаний и возмущения составит  $0, \pi/2, \pi$  в зависимости от соотношения  $\omega$  и  $K$ .

При проведении экспериментов устанавливают (задают) частоту возмущающего воздействия  $\omega$  и определяют величины  $\varphi_0$ ,  $a_b = |x_m|$  и  $K$ .

Введем коэффициент динамичности:

$$\lambda = \frac{a_{\text{в}}}{l\varphi_0} = \frac{m}{M+m} \frac{Z^2}{|Z^2-1|}. \quad (3)$$

Теоретическую кривую  $\lambda = \lambda(Z)$  построим по формуле (3). Экспериментальные точки, определяемые координатами  $x_{m_i}$  и  $\omega_i$ , нанесем на график. Для этого найдем значения  $Z_i = \omega_i / K$  и  $\lambda_i = |x_{m_i}| / (l\varphi_0)$ .

Возможен более точный учет распределения масс маятника, совершающего плоское движение. Например, если учитывать массу  $m_1$  стержня маятника, считая его однородным стержнем длиной  $l_1$ , выражение для кинетической энергии можно записать в виде

$$T = \frac{M\dot{x}^2}{2} + \frac{m v_C^2}{2} + \frac{J_{C_{1z}}\dot{\varphi}^2}{2} + \frac{m_1 v_{C_1}^2}{2},$$

где

$$\begin{aligned} \bar{v}_{C_1} &= \bar{v}_{e_1} + \bar{v}_{\eta_1}, \quad \bar{v}_{e_1} = \bar{v}, \quad v_{\eta\tau} = \frac{l_1}{2}\dot{\varphi}, \\ v_{C_1}^2 &= (\bar{v}_{e_1} + \bar{v}_{\eta_1})^2 = \dot{x}^2 + \frac{l_1^2}{4}\dot{\varphi}^2 - 2\dot{x}\frac{l_1}{2}\dot{\varphi}\cos\varphi. \end{aligned}$$

Окончательно получим

$$T = \frac{(M+m+m_1)\dot{x}^2}{2} - \left(m + \frac{m_1}{2} \frac{l_1}{l}\right) \dot{x}l\dot{\varphi}\cos\varphi + \left(ml^2 + J_{C_{1z}} + m_1 \frac{l_1^2}{4}\right) \frac{\dot{\varphi}^2}{2}.$$

Если при этом учитывать сопротивление при колебаниях каретки с маятником, то обобщенную силу можно представить в виде:

$$Q_x = -2cx - \mu\dot{x},$$

где  $\mu$  — коэффициент вязкого трения.

Тогда уравнение движения системы принимает вид

$$\begin{aligned} (M+m+m_1)\ddot{x} + \mu\dot{x} + 2cx &= \left(m + \frac{m_1}{2} \frac{l_1}{l}\right) l\ddot{\varphi} = \\ &= -\left(m + \frac{m_1}{2} \frac{l_1}{l}\right) l\varphi_0\omega^2 \sin(\omega t + \delta) \end{aligned}$$

или

$$\ddot{x} + 2n\dot{x} + K^2x = -h \sin(\omega t + \delta). \quad (4)$$

Здесь

$$K = \sqrt{\frac{2c}{M + m + m_1}}, \quad 2n = \frac{\mu}{M + m + m_1}, \quad h = \frac{\left(m + \frac{m_1 l_1}{2l}\right) l \varphi_0 \omega^2}{M + m + m_1}.$$

Таким образом, с учетом массы стержня получим

$$a_B = \frac{\left(m + \frac{m_1 l_1}{2l}\right) l \varphi_0 \omega^2}{(M + m + m_1) \sqrt{(K^2 - \omega^2)^2 + 4n^2 \omega^2}},$$

$$\lambda = \frac{a_B}{l \varphi_0} = \frac{m + \frac{m_1 l_1}{2l}}{M + m + m_1} \frac{Z^2}{\sqrt{(1 - Z^2)^2 + Z^2/Q^2}}.$$
(5)

Для разности фаз  $\varepsilon$  имеем

$$\operatorname{tg} \varepsilon = \frac{Z}{Q(1 - Z^2)},$$

откуда

$$\varepsilon = \operatorname{arctg} \left[ \frac{Z}{Q(1 - Z^2)} \right].$$
(6)

**Методика проведения экспериментов.** Методику проведения в данном лабораторном комплексе экспериментов по изучению вынужденных колебаний механической системы с инерционным возмущением рассмотрим на конкретном примере. Пусть масса груза маятника  $m = 1,056$  кг, масса тележки  $M = 5,557$  кг (без дополнительных грузов 14 (см. рис. 2, а)). Приведенные ниже результаты испытаний получены без дополнительных грузов и при длине маятника  $l = 0,196$  м. По результатам экспериментального замера жесткости пружин среднее значение их коэффициента жесткости равно  $c_{cp} = 217,8$  Н/м. Частота свободных колебаний тележки с маятником, полученная расчетным путем при этом значении  $c_{cp}$ ,  $K \approx 8,068$  рад/с. Значения  $K$ , обусловленные разбросом измеренных величин жесткости  $c$ , лежат в диапазоне  $K \approx 7,88 \dots 8,20$  рад/с.

Непосредственно определить обобщенный коэффициент сопротивления системы  $n$  (или  $\mu$ ) весьма трудно, поэтому найдем  $n$  с помощью эксперимента. Чтобы оценить параметры  $K$  и  $n$  зарегистрируем собственные затухающие колебания системы каретка — маятник. Для этого отклоним систему (каретку с маятником) в крайнее допустимое конструктивно положение и отпустим ее без начальной скорости. Определим круговую частоту затухающих колебаний

$K_1 = 2\pi / T_1$ , круговую частоту свободных (собственных) колебаний системы без учета сопротивления  $K = \sqrt{K_1^2 + n^2}$  ( $T_1$  — условный период затухающих колебаний системы). Декремент колебаний системы и ее логарифмический декремент колебаний

$$D = q_i / q_{i+1} = e^{nT_1}$$

и

$$\ln D = \ln \frac{q_i}{q_{i+1}} = nT_1,$$

откуда

$$n = \frac{1}{T_1} \ln \frac{q_i}{q_{i+1}}.$$

В качестве примера на рис. 3 приведен фрагмент записи на экране виртуального прибора свободных колебаний данной системы при выключенном электродвигателе.

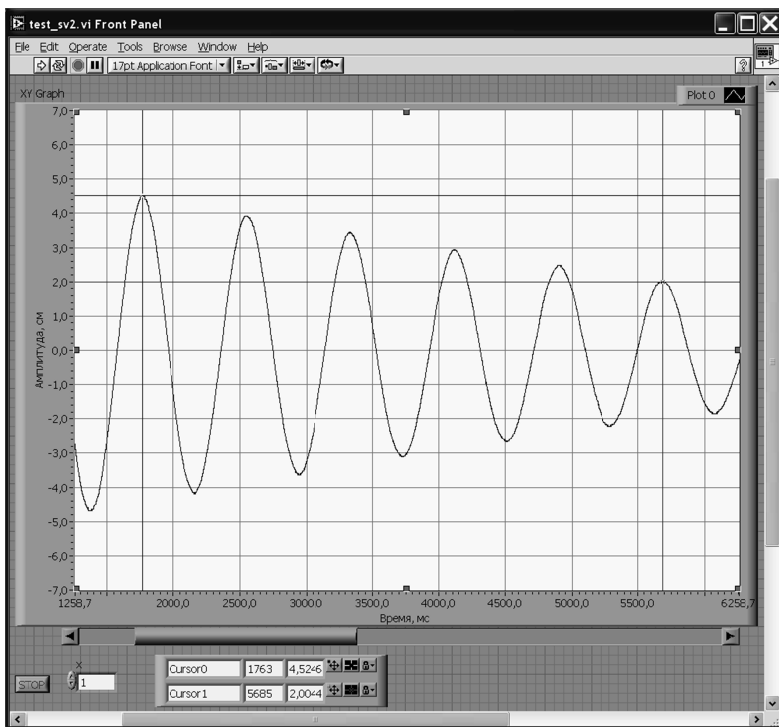


Рис. 3. Фрагмент записи свободных колебаний системы

Рассчитаем значения  $K$  и  $n$ , а также добротность системы  $Q = K / 2n$ . Найдем по отметкам курсора условные период и частоту затухающих колебаний каретки с маятником



$$T_1 = \frac{5685 - 1763}{5 \cdot 10^3} = 0,7844 \text{ с}, \quad K_1 = \frac{2\pi}{T_1}, \quad K_1 = 8,01 \text{ рад/с.}$$

Определим коэффициент сопротивления и частоту собственных колебаний

$$n = \frac{1}{5T_1} \ln \frac{q_i}{q_{i+5}} = \frac{1}{5 \cdot 0,7844} \ln \frac{4,5246}{2,0044} = 0,2076 \text{ рад/с,}$$

$$K = \sqrt{K_1^2 + n^2} = 8,013 \text{ рад/с.}$$

Здесь частота колебаний немного меньше ее значения (8,068 рад/с), полученного выше расчетным путем без учета массы стержня маятника по формуле  $K = \sqrt{\frac{2c}{M+m}}$ .

Затем включим электродвигатель и постепенно будем увеличивать частоту возмущения маятника  $\omega$  (частоту вынужденных колебаний тележки). С помощью датчиков линейных ( $x$ ) и угловых ( $\varphi$ ) отклонений и специальных программ для ЭВМ регистрируем частоту вынужденных колебаний и соответствующее ей значение максимального отклонения каретки от положения равновесия ( $\omega_i, x_{m_i}$ ) и получим записи вынужденных колебаний каретки при различных значениях частоты колебаний маятника, например при  $\omega < K$  (см. рис. 4).

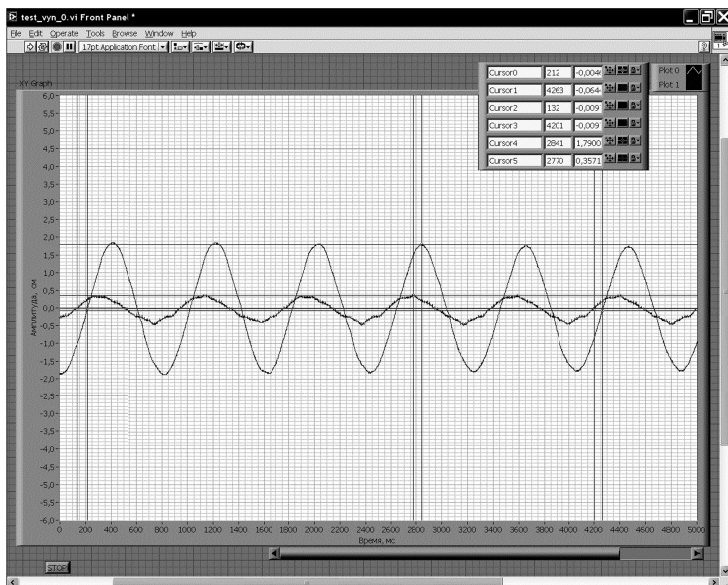


Рис. 4. Фрагмент записи колебаний маятника и каретки при  $\omega < K$

На рис. 4 приведены зависимости от времени возмущений (колебание маятника) и вынужденных колебаний каретки при частоте  $\omega = 7,7208$  рад/с  $< K$ , и коэффициенте динамичности  $\lambda = \frac{a_B}{l\varphi_0} = \frac{1,7900}{0,3571} = 5,013$ . Найдем разность фаз  $\varepsilon = \psi_B - \psi = \omega(t_1 - t_2) = \omega\Delta t$ , где  $\psi$  — фаза вынужденных колебаний;  $\Delta t$  — запаздывание по времени вынужденных колебаний каретки (отклик) по отношению к колебаниям маятника (сигнал возмущения):

$$\varepsilon = \omega\Delta t = 7,7208 \frac{2841 - 2770}{10^3} = 0,5482 \text{ рад}$$

или

$$\varepsilon \approx 31,41^\circ.$$

При этом коэффициент расстройки  $Z = \frac{\omega}{K} = 0,9619$ .

На рис. 5 представлены теоретические АЧХ и ФЧХ вынужденных колебаний каретки, рассчитанные по формулам (5), (6), а экспериментальные значения приведены в виде совокупности точек, образующих размытые линии.

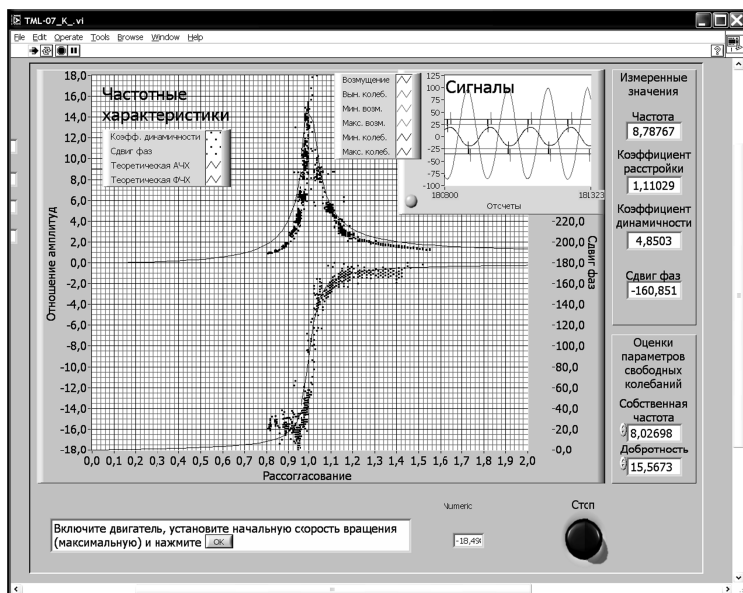


Рис. 5. АЧХ и ФЧХ на экране виртуального прибора

В частности, экспериментальным точкам на рис. 5 удовлетворительно соответствуют приведенные выше на рис. 4 результаты обработки записи вынужденных колебаний. Однако теоретическая АЧХ

лежит немного выше экспериментальной. Значения разности фаз во всем диапазоне частот практически совпадают с теоретическими, в то время как экспериментальные точки для амплитуды в области резонанса имеют больший разброс относительно теоретических значений, что отражает влияние нелинейных свойств системы на ее АЧХ. Тем не менее, частота резонанса по АЧХ и ФЧХ хорошо совпадает с теоретическим значением. Таким образом, результаты экспериментов подтверждают допустимость применения линейной модели для анализа работы лабораторной установки.

Исследования могут быть дополнены другими научными вопросами (например, исследование АЧХ и ФЧХ при другом уровне сопротивления в системе, влияние нелинейностей и др.).

**Моделирование колебаний реальных объектов (установок).** Обобщим типовые схемы таких реальных механических объектов, в которых имеется инерционное возмущение (рис. 6).

Применяя уравнение Лагранжа 2-го рода (1), для приведенных на рис. 6, *a–e* схем механических систем (диски — однородные, качение — без скольжения) имеем соответственно следующие дифференциальные уравнения движения:

$$\ddot{x} + K^2 x = h \sin(\omega t + \delta), \quad h = s_0 \omega^2, \quad K^2 = \frac{c}{m};$$

$$\ddot{x} + K^2 x = h \sin(\omega t + \delta), \quad K^2 = \frac{c}{m + m_1 / 2}, \quad h = \frac{m}{m + m_1 / 2} s_0 \omega^2;$$

$$\ddot{s} + K^2 s = h \sin(\omega t + \delta), \quad K^2 = \frac{c}{m + m_1 + M}, \quad h = \frac{m}{m + m_1 + M} x_0 \omega^2; \quad (7)$$

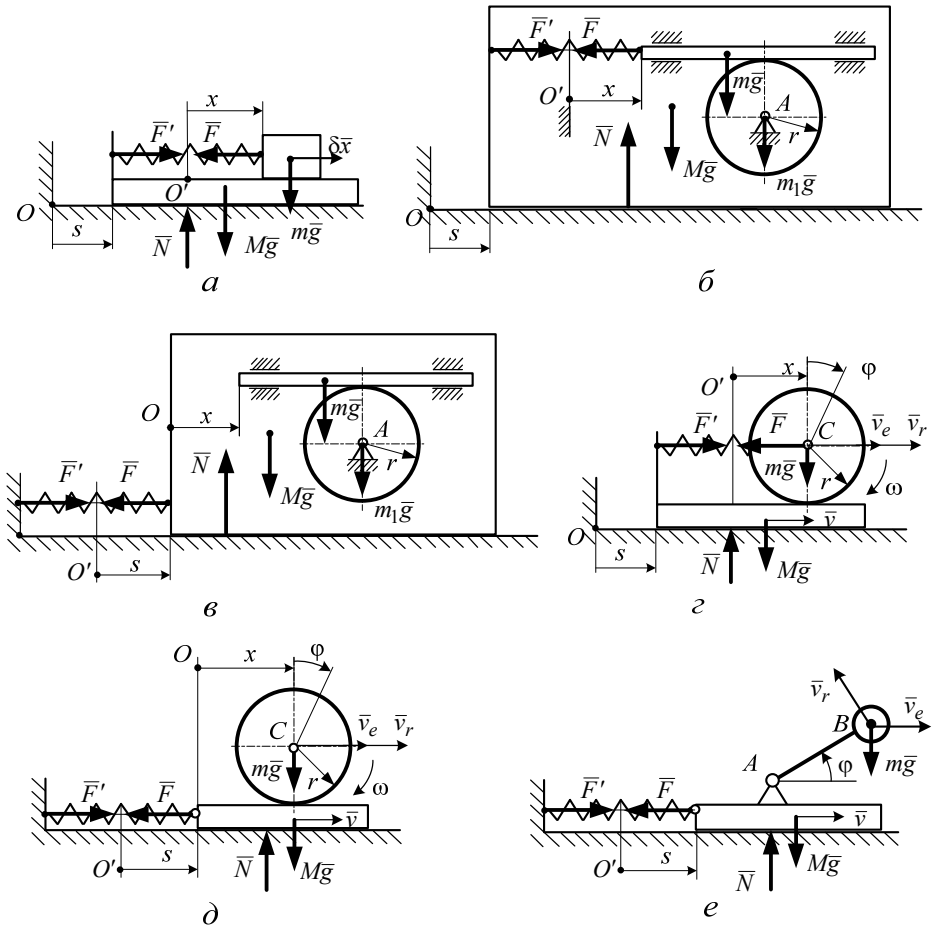
$$\ddot{x} + K^2 x = h \sin(\omega t + \delta), \quad K^2 = \frac{2c}{3m}, \quad h = \frac{2}{3} s_0 \omega^2;$$

$$\ddot{s} + K^2 s = h \sin(\omega t + \delta), \quad K^2 = \frac{c}{m + M}, \quad h = \frac{m}{m + M} x_0 \omega^2;$$

$$\ddot{s} + K^2 s = h \cos(\omega t + \delta), \quad K^2 = \frac{c}{M + m}, \quad h = \frac{m}{M + m} l \omega^2.$$

При движении можно учитывать сопротивление как  $\mu \dot{s}$  или  $\mu \dot{x}$ , тогда, например в последнем варианте системы дифференциальное уравнение (7) принимает вид:

$$\ddot{s} + 2n\dot{s} + K^2 s = h \cos(\omega t + \delta), \quad 2n = \frac{\mu}{M + m}.$$



**Рис. 6.** Типовые схемы реальных механических объектов с поступательными движениями тел при  $s = s_0 \sin(\omega t + \delta)$  (a); колеблющейся установки при  $s = s_0 \sin(\omega t + \delta)$  (б); механической системы с подпружиненным корпусом при  $x = x_0 \sin(\omega t + \delta)$  (в); системы с плоским движением тела при  $s = s_0 \sin(\omega t + \delta)$  (г); второго варианта системы с плоским движением тела при  $x = x_0 \sin(\omega t + \delta)$  (д); системы с вращающейся деталью при  $\varphi = \omega t$ ,  $\omega = \text{const}$  (e)

В силу того, что дифференциальные уравнения во всех рассмотренных случаях аналогичны уравнениям (2), (4), созданная установка, позволяет получать АЧХ и ФЧХ для реальных установок (натурных объектов) при одинаковых значениях добротности модели и натурального объекта  $Q_m = Q_n$ .

Рассмотрим вариант (см. рис. 6, a), в котором задано движение платформы в соответствии с законом  $s = s_0 \sin(\omega t + \delta)$ . В этом случае коэффициент  $\lambda$  определяется формулой

$$\lambda = \frac{Z^2}{\sqrt{(1-Z^2)^2 + Z^2/Q^2}},$$

в которой все величины безразмерные и поэтому уже являются инвариантами при моделировании.

При  $Z = \frac{\omega}{K} = \text{inv} = I_1$ ,  $Q = \frac{K}{2n} = \text{inv} = I_2$ , коэффициент динамичности

$$\lambda = \text{inv} = I.$$

Это означает, что при выполнении условий для инвариантов  $I_1, I_2$  (коэффициентов подобия) можно получить одинаковые значения  $\lambda$  для любых экспериментов.

Использование лабораторной установки в качестве модельной позволяет развить теорию моделирования и предсказать вид зависимости  $\lambda(Z, Q)$  для натурального объекта.

Выполняя условия инвариантности, получаем следующие выражения:

$$I_1 = \left( \frac{\omega}{K} \right)_n = \left( \frac{\omega}{K} \right)_m \quad \text{и} \quad I_2 = \left( \frac{K}{n} \right)_n = \left( \frac{K}{n} \right)_m \quad (8)$$

Из выражения для  $I_1$  получим  $\omega_n/\omega_m = K_n/K_m$ . Отсюда следует, что можно ввести масштабный коэффициент для отношения собственных частот натурального объекта и модели  $m_K$ . Значение  $m_K$  может быть больше или меньше единицы, что зависит от параметров натурального объекта. Следовательно, необходимо выполнить условие  $\omega_n/\omega_m = m_K$ .

Кроме того, из выражения для  $I_2$  получаем

$$\frac{n_n}{n_m} = \frac{K_n}{K_m} = m_K.$$

Если условия (8) выполнены, безразмерные параметры  $Z$  и  $Q$  равны для натурального объекта и модели:  $Z_n = Z_m$ ,  $Q_n = Q_m$ , то  $\lambda = I$ , т. е.  $\lambda_n = \lambda_m$  и кривые  $\lambda(Z, Q)$  для них совпадают.

Таким образом, изложенная в работе методика позволяет проводить физическое моделирование и строить АЧХ и ФЧХ для модели и в то же время для натуральных объектов. При этом собственные частоты  $K$  и коэффициенты сопротивления  $n$  для модели и натурального объекта отличаются в  $m_K$  раз.

В случае вынужденных колебаний инерционного типа массовый коэффициент в зависимостях  $\lambda = \lambda(Z, Q)$  не всегда равен единице, поэтому для него также нужно ввести коэффициент подобия  $I_3$ , например, как в данной экспериментальной установке (см. (3))

$$I_3 = \left( \frac{m}{M + m} \right),$$

т. е.

$$\left( \frac{m}{M + m} \right)_H = \left( \frac{m}{M + m} \right)_M.$$

Следует отметить, что зависимости  $\lambda = \lambda(Z, Q)$  уже при  $Z \approx 2$  стремятся к предельному значению  $\lim_{Z \rightarrow \infty} \lambda = \frac{m}{M + m}$ , равному  $I_3$ . Кроме того, при резонансе  $\lambda_{Z=1} = \frac{m}{M + m} Q$ .

Приведем пример моделирования колебаний натурального объекта при  $m_k = 1, 2$ .

На рис. 7 представлены АЧХ и ФЧХ лабораторной установки, полученные при обработке результатов экспериментов с помощью оригинального программного обеспечения (кривые 1 и 2).

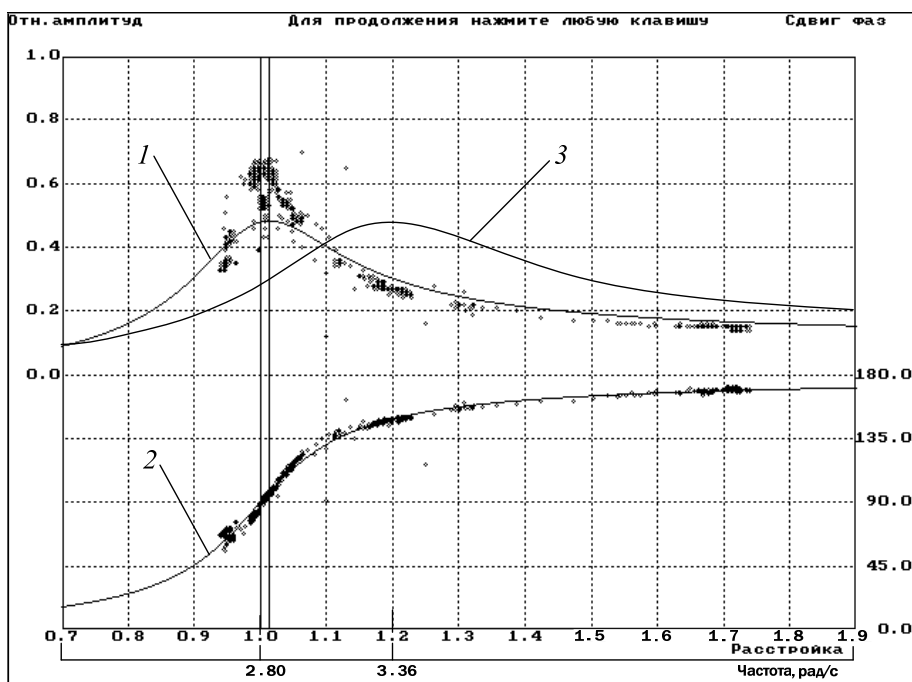


Рис. 7. Построение кривой моделирования

Безразмерные зависимости  $\varepsilon = \varepsilon(Z, Q)$  и  $\lambda = \lambda(Z, Q)$  модели и натурального объекта (см. (6)) в силу равенства  $Q_m = Q_n$  при моделировании совпадают (кривые 1 и 2 на рис. 7), при этом  $\omega_n = \omega_m m_K$ .

На этом же рисунке построена зависимость  $\lambda_n = \lambda_n(\omega)$  для натурального объекта (кривая 3), причем в этом случае по оси абсцисс отложены значения  $\omega$  в рад/с (нижняя ось абсцисс на рисунке). Кривая 3 смещена вправо по отношению к кривой 2 и при резонансе  $\lambda_n = \lambda_m$ , но  $p_m = K_m \approx 2,8$  рад/с, а  $\omega_n = \omega_m m_K = 2,8 \cdot 1,2 = 3,36$  рад/с.

**Заключение.** В настоящей работе показано, что в различных промышленных устройствах процессы колебаний при их инерционном возбуждении описываются дифференциальными уравнениями, аналогичными дифференциальным уравнениям движения разработанной экспериментальной установки (модели), что позволяет применять ее для математического и физического моделирования процессов колебаний реальных промышленных объектов. Приведены параметры подобия, позволяющие осуществлять такое моделирование и получать АЧХ и ФЧХ различных промышленных устройств, используя рассмотренную лабораторную установку.

## ЛИТЕРАТУРА

- [1] Дубинин В.В., Жигулевцев Ю.Н., Назаренко Б.П., Ремизов А.В. О внедрении новых информационных технологий в учебный процесс по курсу «Теоретическая механика». *Тр. Научно-методической конференции, посвященной 35-летию образования факультета «Фундаментальные науки» МГТУ им. Н.Э. Баумана*. Москва, 20 декабря 1999 г. Москва, Изд-во МГТУ им. Н.Э. Баумана, 1999, с. 65–66.
- [2] Дубинин В.В. Физический эксперимент в некоторых задачах механики. *Тр. зонального совещания-семинара заведующих кафедрами теоретической механики Центрального и Приволжского федеральных округов РФ*. Издательство Ульяновского гос. ун-та. Ульяновск, 2002, с. 14–15.
- [3] Дубинин В.В., Жигулевцев Ю.Н., Назаренко Б.П. Автоматизированный лабораторный комплекс «Вынужденные колебания системы с одной степенью свободы». *Сб. научных статей, посвященный 125-летию кафедры теоретической механики*. ИМТУ — МГТУ им. Н.Э. Баумана, Москва, 2003, с. 48–56.
- [4] Дубинин В.В., Витушкин В.В., Назаренко Б.П. Современный лабораторный комплекс по теоретической механике. Интеграция образования, науки и производства. *Материалы секционного заседания Междунар. конф. IX Междунар. форума «Высокие технологии XXI века»*. Москва, 23 апреля 2008 г. Москва, Изд-во МГТУ им. Н.Э. Баумана, 2008, с. 153–156.

Статья поступила в редакцию 26.06.2013

Ссылку на эту статью просим оформлять следующим образом:

Дубинин В.В., Витушкин В.В. Моделирование колебаний с инерционным возмущением. *Инженерный журнал: наука и инновации*, 2013, вып. 12. URL: <http://engjournal.ru/catalog/eng/teormech/1146.html>

**Дубинин Владимир Валентинович** родился в 1937 г., окончил МВТУ им. Н.Э. Баумана в 1961, канд. техн. наук, доцент кафедры теоретической механики имени профессора Н.Е. Жуковского. Автор около 250 работ в области динамики и теории удара.  
e-mail: fn3@bmstu.ru

**Витушкин Вячеслав Валентинович** родился в 1942 г., окончил МВТУ им. Н.Э. Баумана в 1968 г. Канд. техн. наук, доцент кафедры теоретической механики имени профессора Н.Е. Жуковского МГТУ им. Н.Э. Баумана. Автор более 100 научных работ в области прикладной аэрогазодинамики и теоретической механики.  
e-mail: vitushkin.fn-3.bmstu@yandex.ru